

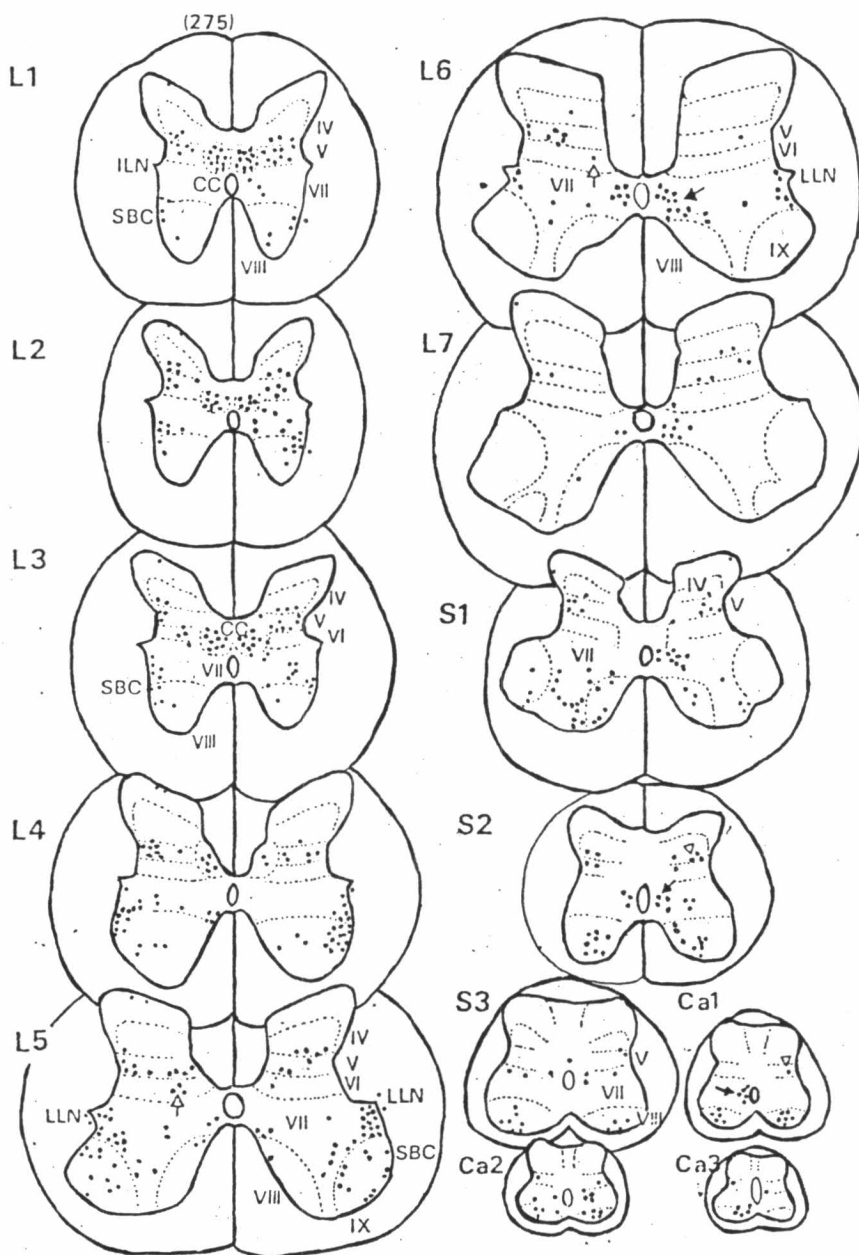
บทที่ 5

อภิราย สรุปผลการวิจัยและข้อเสนอแนะ

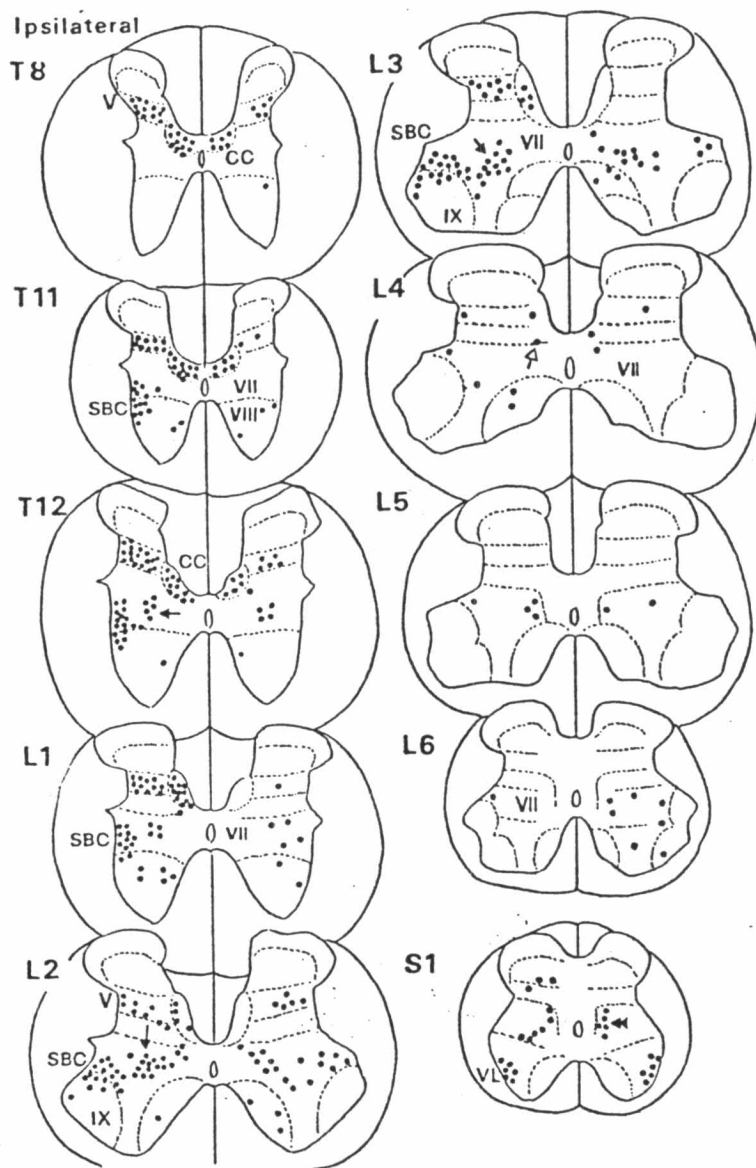
ได้ศึกษาตำแหน่ง รูปร่างลักษณะ และขนาดของ SCT neurons ในไขสันหลังระดับ lumbar และ sacral ของหนูตะเภาโดยการฉีดสาร HRP เข้าไปใน cerebellum และใช้ TMB ตามวิธีของ Mesulam ในปี 1978 เป็น chromogen สำหรับ HRP ซึ่งให้ reaction product ที่มีลักษณะเป็น granule หมาย สื้นๆ เส้นใยเข้มเท็งชัดในระดับ light microscope ใน GP₃₇ ฉีด HRP 4 μ l ใน cerebellum พบรการกระจายของสาร HRP เข้มมากทั้งใน anterior และ posterior lobe ของ cerebellum คือ ตลอดทั้ง lobe I-X ส่วนใน GP₃₀ และ GP₃₁ ฉีด HRP 2 μ l ใน cerebellum พบรการกระจายของสาร HRP เข้มมากใน posterior lobe คือ lobe VI-X ส่วนใน anterior lobe การกระจายของสาร HRP จำกมากใน lobe IV-V และไม่พบสาร HRP ใน lobe I-III จำนวนของ SCT neurons ใน GP₃₇ มากกว่าใน GP₃₀ และ GP₃₁ แสดงว่าจำนวนของ SCT neurons ทึ้งกับปริมาณสาร HRP ส่วนตำแหน่งของ SCT neurons ใน GP₃₇, GP₃₁, GP₃₀ คล้ายกันในรูป 6, 7, 8 ต่างกันเล็กน้อยบริเวณ L₅ และ L₆ คือในระดับ L₅ ของ GP₃₇ พบร SCT neurons บริเวณด้านในและด้านนอกของ lamina VII, lamina VIII และ lamina IX แต่ใน L₅ ของ GP₃₀ และ GP₃₁ พบร SCT neurons บริเวณด้านในของ lamina VII, lamina VIII และ lamina IX ไม่พบ SCT neurons บริเวณด้านนอกของ lamina VII, lamina VIII และ lamina IX แต่ใน L₆ ของ GP₃₀ และ GP₃₁ ไม่พบ SCT neurons ผลการศึกษาตรงกับรายงานของ Grant และ Xu ที่พบว่าบริเวณด้านนอกของ lamina VII ในระดับ L₄ ถึง L₅ และบริเวณ lamina IX ในระดับ L₄ ถึง L₅ รูป 3 ที่ส่งเส้นไปประสาทไปลิ้นสูคในบริเวณ anterior lobe ของ cerebellum เท่านั้น (Grant and Xu, 1988; Xu and Grant, 1988b)

เพื่อเปรียบเทียบการศึกษาครั้งนี้ในหนูตะเภา กับสัตว์ทดลองใน species อื่น เช่น ในหมาเรท (Snyder, Fall and Mehler, 1978; Matsushita and Hosoya, 1979) ในเมว Snyder, Fall and Mehler, 1978; Matsushita, Hosoya and Ikida, 1979; Matsushita and Ikeda, 1980; Grant et al., 1982; Grant and Xu, 1988) ในลิง (Snyder, Fall and Mehler, 1978) พบร่องรอยของ SCT neurons ในสัตว์ทดลองทั้ง 3 species คล้ายกับการศึกษาครั้งนี้คือ ในไขสันหลังระดับ lumbar ลงมา SCT neurons อยู่ในบริเวณ lamina IV-VI, Clarke's column, lamina VII, lamina VIII, lamina IX และระดับ sacral การกระจายของ SCT neurons ในไขสันหลังระดับต่าง ๆ คล้ายกัน รูป 22,23 รูปร่างของ SCT neurons ใน lamina ต่างๆ มีหลายแบบ ได้แก่ รูปกลม, รูปไข่, รูปสามเหลี่ยม และรูปหลายเหลี่ยมมีขนาดตั้งแต่ 15-58 μm ตารางที่ 3

ในรายงานนี้ได้ศึกษาตำแหน่ง รูปร่างลักษณะ และขนาดของ interneurons ในไขสันหลังระดับ lumbar และ sacral ของหนูตะเภาโดยการฉีดสี WGA-HRP เข้าไปใน cerebellum และใช้ TMB เป็น chromogen เช่นเดียวกับ HRP ใน GP₄₇, GP₄₈, GP₅₀ ฉีด WGA-HRP 4 μl ใน cerebellum พบร่องรอยของสาร WGA-HRP เนื้ามากทั้งใน anterior และ posterior lobe ของ cerebellum คือ ตลอดทั้ง lobe I-X ส่วน GP₃₂ ฉีด WGA-HRP 2 μl ใน cerebellum พบร่องรอยของสาร WGA-HRP เนื้ามากใน posterior lobe คือ lobe VI-X จำนวนของ SCT neurons และ interneurons ใน GP₄₇, GP₄₈, GP₅₀ มากกว่าใน GP₃₂ แสดงว่าจำนวน SCT neurons และ interneurons น้อยกว่าในบริเวณสาร WGA-HRP ตามตำแหน่งของ SCT neurons ที่เกิดจาก retrograde transport ของสาร WGA-HRP รูป 9,17,19 ส่วนตำแหน่งของ interneurons ใน GP₄₇, GP₄₈, GP₅₀ รูป 11,18,20 พบที่ lamina III ระดับ L₄ ถึง L₆, lamina IV-VI ระดับ L₁ ถึง S, ด้านในของ lamina VII ระดับ L₁ ถึง S, ด้านนอกของ lamina VII ระดับ L₁ ถึง S, lamina VIII ระดับ L₁ ถึง S, lamina IX ระดับ L₂ ถึง L₅ ต่างกับ GP₃₂ คือ ที่ระดับ L₆ ของ GP₃₂ พบร่องรอย interneurons เพียง 1 ตัวเท่านั้น คือ บริเวณ lamina IV แต่ไม่พบ interneurons ใน lamina VII และ lamina VIII ตำแหน่งของ interneurons เพื่อเปรียบเทียบกับตำแหน่งของ SCT neurons พบร่องรอยของ interneurons ที่อยู่ในตำแหน่งเดียวกับ SCT neurons ซึ่งแยกความแตกต่างโดยขนาดของ interneurons



รูปที่ 22 แสดงตำแหน่งของ SCT neurons ในไส้ลังแ侔ระดับ L1 ถึง Ca3 จากการฉีด HRP เข้าไปใน cerebellum (Matsushita, Hosoya and Ikeda, 1979)



รูปที่ 23 แสดงตำแหน่งของ SCT neurons ในไขสันหลังหมากระดับ L1 ถึง S จากการฉีด HRP เนื้าใน cerebellum (Matsushita and Hosoya, 1979)

หมายเหตุ ipsilateral หมายถึง บริเวณด้านเดียวกันที่ฉีดสาร HRP

ประมาณ 15-30 μl จะเล็กกว่าขนาดของ SCT neurons มีขนาดประมาณ 15-58 μm รูปร่างมี หลายแบบได้แก่ รูบกลม, รูบไข่, รูปสามเหลี่ยม และหัวท้ายแหลม และใน interneurons มี granule ที่เป็น reaction product ของ WGA-HRP น้อยกว่า SCT neurons อายุang ชั้นเจนรูบ 12,13,14 บริเวณที่พบ interneurons แต่ไม่พบ SCT neurons ได้แก่ lamina III-VI ในระดับ L5 ถึง L6, ด้านนอกของ lamina VII ระดับ L6, lamina IV-V ในระดับ S

จากการศึกษาทางสรีรวิทยาพบว่า interneurons ใน lamina V-VI ในไขสันหลัง แมราร์ดับ L6 ถึง L7 ได้รับการกระตุ้นจาก group I muscle afferent ของเส้นประสาทกล้ามเนื้อขาหลังแล้วมีผลยับยั้ง DSCT neurons (Hongo et al., 1983a) จากผลการศึกษารังนี่พบทาแน่ง interneurons ของระบบ spinocerebellum ใน lamina ต่าง ๆ มาก นอกเหนือจาก lamina V, VI และ VII ซึ่งรายงานโดย Hongo และคณะ ในปี 1983 โดยการฉีด HRP เข้าไปใน Clarke's column แสดงว่า interneurons ใน lamina III, IV, VIII และ IX เกิดจาก transneuronal transport จาก SCT neurons กลุ่มนี้ที่ไม่ใช่ CC interneurons ใน lamina V-VI นี้ได้รับการกระตุ้นจาก group I muscle afferent, อวัยวะรับสัมผัสและ descending tract ต่าง ๆ แล้วมีผลยับยั้ง motoneurons ที่เป็น non-reciprocal ของกล้ามเนื้อขาหลัง (Fetz et al., 1979; Jankowska, McGrea and Mackel, 1981b; Jankowska and McCrea, 1983; Harrison, Jankowska and Johannsson, 1983; Hongo et al., 1983b) Hongo และคณะ ในปี 1983 ได้พิสูจน์ให้เห็นว่า interneurons ใน lamina V-VI ทำหน้าที่พร้อมกัน 2 อายุang คือ ยับยั้งทั้ง DSCT neurons และ motoneurons ที่เป็น non-reciprocal ของกล้ามเนื้อขาหลัง ผลการศึกษาทางสรีรวิทยาของ interneurons ใน lamina VII ได้รับการกระตุ้นจาก group I muscle afferent, อวัยวะรับสัมผัส และ descending tract ต่าง ๆ แล้วมีผลยับยั้ง motoneurons ที่เป็น reciprocal ของกล้ามเนื้อขาหลัง (Hultborn, Illert and Santini, 1976a, 1976b, 1976c) ส่วน interneurons ใน lamina VIII พยายการฉีด WGA-HRP ที่เส้นประสาทของกล้ามเนื้อ semitendinosus และ gastrocnemius ในแมวซึ่งจะเกิด retrograde transport ไปที่ motoneurons และ transneuronal transport ไปยัง interneurons ที่อยู่ใน lamina V-VII ด้านเดียวกัน และ lamina VIII ด้านตรงข้าม (Harrison, Jankowska and Zytnicki,

1984; Harrison et al., 1984; Jankowska and Skoog, 1986) เช่นเดียวกันจากการศึกษาในหนูตะเภาที่มี interneurons ในตานแห่งดังกล่าว (Chentanez and Skoog, in Press) แสดงว่า interneurons ใน lamina VIII ส่ง axons ไปยังด้านตรงข้ามของ motoneurons ซึ่งเกี่ยวข้องกับ crossed reflex หรือ crossed descending synaptic actions บน motoneurons และเป็น last-order neurons ไปถึงสุดบนด้านตรงข้ามของ motoneurons (Harrison, Jankowska and Zytnicki, 1986) จากผลการศึกษาครั้งนี้ตานแห่งที่มี interneurons มากคือ lamina IV-VI, lamina VII และ lamina VIII ในบริเวณ lamina IX ส่วนมากพบ interneurons บริเวณรอยต่อระหว่าง lamina VII กับ lamina IX และ lamina VIII กับ lamina IX ซึ่ง interneurons ใน lamina นี้อาจเป็นกลุ่มเดียวกับ lamina VII และ lamina VIII ได้ ทางทัพอสรูปได้ว่า interneurons ของระบบ spinocerebellum และของ motoneurons ของขาหลังน่าจะเป็นกลุ่มเดียวกัน interneurons เหล่านี้ทำหน้าที่ยับยั้งการทำงานของ motoneurons และ SCT neurons โดยทำงานประสานกันและได้รับข้อมูลต่าง ๆ ทึ้งที่มาจากรัศมีสูงกว่าใบสันหลังโดยผ่านทาง descending tract ต่าง ๆ และจากอวัยวะรับสัมผัส เช่น muscle spindle, golgi tendon และจากกล้ายประสานในเยื่อหุ้มของข้อและผิวนัง เป็นต้น

สรุปผลการทดลอง

1. ตานแห่งของ SCT neurons ในไขสันหลังระดับ lumbar และ sacral ที่ได้จากการศึกษาครั้งนี้ คั่นนี้คือ lamina IV-VI ในระดับ L1 ถึง L4, Clarke's column ในระดับ L1 ถึง L3, ด้านในของ lamina VII ในระดับ L1 ถึง L6, ด้านนอกของ laminar VII ในระดับ L1 ถึง L5, lamina VIII ในระดับ L2 ถึง L6, lamina IX ในระดับ L3 ถึง L5 และ lamina VI, VII, VIII ในระดับ sacral รูปร่างมีหลายแบบ ได้แก่ รูปกลม, รูปไข่, รูปสามเหลี่ยม และรูปหลายเหลี่ยม มีขนาดตั้งแต่ 15-58 μm

2. ตามเน้นของ interneurons รูปร่างและขนาดใน lamina ต่าง ๆ ดังนี้
 lamina IV-VI พบรูป interneurons ทุกระดับตั้งแต่ L₁ ถึง S กระจายอยู่
 ทั่วไปตลอดทั้ง lamina รูปร่างมีหลายแบบ ได้แก่ รูบกลม, รูบไข่ และหัวท้ายแหลม มีขนาด
 15-28 μm

lamina VII พบรูป interneurons ทุกระดับตั้งแต่ L₁ ถึง S ในระดับ L₁
 และ L₂ กระจายบริเวณด้านในของ lamina มากกว่าด้านนอก ในระดับ L₃ และ L₄ พบ
 มากขึ้นกระจายทั่วไปตลอดทั้ง lamina และน้อยลงในระดับ L₅, L₆ และ S รูปร่างมีหลาย
 แบบได้แก่ รูบกลม, รูบไข่, รูบสามเหลี่ยมและหัวท้ายแหลม มีขนาด 18-30 μm

lamina VIII พบรูป interneurons จำนวนมากเมื่อเปรียบเทียบกับ SCT
 neurons โดยพบทุกระดับตั้งแต่ L₁ ถึง S พบน้อยใน L₁ และมากขึ้นใน L₂, L₃ และ
 L₄ น้อยลงอีกครั้งในระดับ L₅, L₆ และ S รูปร่างมีหลายแบบได้แก่ รูบกลม, รูบไข่, รูบ
 สามเหลี่ยม และหัวท้ายแหลม มีขนาด 15-30 μm

lamina IX พบรูป interneurons ในระดับ L₂ ถึง L₅ พบมากใน L₃
 และ L₄ กระจายบริเวณอยู่ต่อข่อง lamina VII กับ lamina IX และ lamina VIII
 กับ lamina IX รูปร่างมีหลายแบบได้แก่ รูบกลม, รูบไข่ และหัวท้ายแหลม มีขนาด 15-28 μm .

ข้อเสนอแนะและงานที่จะดำเนินต่อไป

จากการศึกษาครั้งนี้ทำให้ได้ข้อมูลเกี่ยวกับตามเน้นของ interneurons ของระบบ spinocerebellar ในระดับ lumbar ซึ่งเป็นตามเน้นเดียวกับ interneurons ของ motoneurons ของขาหลัง แต่การที่จะแสดงให้เห็นเด่นชัดว่าเป็นเซลล์เดียวกัน คงต้องทำการศึกษาต่อไปโดยวิธี double labelling ใช้ tracer ตัวหนึ่งอาจจะเป็น fluorescent dye ฉีดเข้าไปใน motor neurons ในไส้ลันหลัง ซึ่งจะ retrograde ไปสู่ interneurons และฉีด WGA-HRP เข้าไปใน cerebellar vermis เพื่อจะได้เกิด retrograde transneuronal transport มาที่ interneurons ถ้าพบเซลล์มี double labelling ก็แสดงว่าเป็นเซลล์เดียวกันแน่นอน